



UNIVERSIDADE FEDERAL DE SANTA CATARINA  
DEPARTAMENTO DE ENG. DE CONTROLE, AUTOMAÇÃO E  
COMPUTAÇÃO  
CURSO DE GRADUAÇÃO EM ENGENHARIA DE CONTROLE E  
AUTOMAÇÃO

Bruno Bueno Bronzeri  
Gabriel Mariano Gonçalves Santos  
Leonardo dos Santos Schmitt

**Trabalho 1:** Multithreading para Ataque de Força Bruta em Lista de Hashes de  
Senhas

Blumenau  
2024

Bruno Bueno Bronzeri  
Gabriel Mariano Gonçalves Santos  
Leonardo dos Santos Schmitt

**Trabalho 1:** Multithreading para Ataque de Força Bruta em Lista de Hashes de Senhas

Relatório referente ao Trabalho número 1 (um) da disciplina de Sistemas Computacionais para Controle e Automação, no curso de graduação de Engenharia de Controle e Automação na Universidade Federal de Santa Catarina (UFSC) - Campus Blumenau.

**Orientador:**

Prof. Carlos Roberto Moratelli, Dr.

Blumenau  
2024

## RESUMO

Este trabalho visa abordar um algoritmo que implementa um produtor/consumidor visando paralelizar um ataque de força bruta em uma lista de *hashes* de senhas de um sistema Linux. Esse ataque é feito através de uma técnica chamada de *Multithreading*. Dessa forma a partir de um arquivo de *hashes*, a *thread* produtora disponibiliza para  $n$  consumidoras que, a partir de um dicionário criptografam senhas em *hashes* e efetuam a comparação uma a uma até obter correspondência.

**Palavras-chave:** Algoritmo; força bruta, *hashes*, *Multithreading*.

## ABSTRACT

This report aims to approach an algorithm that implements a producer/consumer with the aim of parallelize an Brute-force attack in a list of password hashes of a Linux system. This attack is done through a technique called Multithreading. Therefore, from a hash file, the producing thread available to  $n$  consumers who, using a dictionary, encrypt passwords in hashes and compare them one by one until a match is found.

**Keywords:** Algorithm; Brute-force, hashes, multithreading.

## LISTA DE FIGURAS

- Figura 1 – Gráfico de tempo por número de *threads* comparando desempenho. 14
- Figura 2 – Gráfico de tempo por número de *threads* para Máquina Virtual. 15
- Figura 3 – Gráfico de tempo por número de *threads* para Dual-Boot. . . . 16
- Figura 4 – Gráfico de tempo por número de *threads* para Servidor da UFSC. 16

## LISTA DE CÓDIGOS

3.1	Criação de $N$ <i>threads</i> consumidoras. . . . .	9
3.2	Aquisição de parâmetros. . . . .	10
3.3	Funções para contagem de número de linhas de arquivos. . . . .	11

## SUMÁRIO

<b>1</b>	<b>IDENTIFICAÇÃO DO TRABALHO . . . . .</b>	<b>7</b>
1.1	TÍTULO . . . . .	7
1.2	TEMA PRINCIPAL . . . . .	7
<b>2</b>	<b>INTRODUÇÃO . . . . .</b>	<b>8</b>
<b>3</b>	<b>DESENVOLVIMENTO . . . . .</b>	<b>9</b>
<b>4</b>	<b>RESULTADOS . . . . .</b>	<b>13</b>
<b>5</b>	<b>CONCLUSÃO . . . . .</b>	<b>17</b>
	<b>REFERÊNCIAS . . . . .</b>	<b>18</b>

## 1 IDENTIFICAÇÃO DO TRABALHO

### 1.1 TÍTULO

Trabalho 1 - Ataque de Força Bruta via *Multithreading*.

### 1.2 TEMA PRINCIPAL

O trabalho em questão consiste na tentativa de realizar um ataque de força bruta em um conjunto de palavras *hash*, para descobrir as senhas utilizadas pelos usuários de um determinado sistema. Ou seja, através da lista de *hashes* que representam senhas criptografadas, é possível juntamente com um arquivo dicionário de senhas reais, checar a correspondência, na qual caso haja, considere-se a senha como descoberta. Esse processo é realizado com o uso de *threads*, a fim de tornar a execução paralelizada e otimizada em relação ao tempo.



## 2 INTRODUÇÃO

Neste trabalho, serão aplicados os conceitos estudados na disciplina de Sistemas Computacionais para Controle e Automação. Para isso, foi proposto um cenário de ataque cibernético. No caso, foram fornecidos dois dados a serem utilizados, o primeiro deles é o arquivo `rockyou.txt`, e o outro é o arquivo `hashes.txt`.

O primeiro trata-se de um dos dicionários de senhas mais famosos e amplamente utilizados. Ele contém uma lista enorme de senhas comuns e populares, sendo frequentemente utilizado em testes de segurança e auditorias de sistemas para verificar a força das senhas. O nome "*rockyou*" deriva de um ataque de hackers em 2009 contra o site de redes sociais *RockYou*, no qual milhões de senhas foram vazadas e muitas delas eram bastante simples e comuns, como aquelas encontradas no arquivo "`rockyou.txt`". Já o segundo arquivo, seria referente a um conjunto de *hashes*, que tratam-se justamente de senhas criptografadas de tipo MD5, que no cenário, seriam senhas vazadas como resultado de um primeiro ataque, para a posteriori extrair a informação de criptografia dessa palavra *hash* e criptografar senha a senha do dicionário para encontrar correspondências.

Vale ressaltar que a criptografia usada em todas as *hashes* são do tipo MD5, já que todas elas se iniciam com \$1\$. E que o fragmento da *hash*, chamado de "*salt*" é uma sequência aleatória concatenada à senha real para gerar a criptografia, de modo com que não seja possível possuir um dicionário prévio de *hashes*.

### 3 DESENVOLVIMENTO

A implementação do algoritmo que realiza o ataque para descobrir senhas de usuários de um determinado sistema ou plataforma, foi feito através da utilização de *threads*. Uma produtora na função `main`, que disponibiliza as senhas no formato de *hashes*, ou seja, senhas criptografadas a serem descobertas, no arquivo `hashes.txt` tornando o *buffer* da *thread* produtora o próprio arquivo. Além disso, o algoritmo deve criar  $N$  *threads* consumidoras, conforme o número passado como parâmetro de entrada pelo usuário/hacker, as quais "consomem" uma *hash* da lista e através do *salt*, cada *thread* adquire o padrão de criptografia, acessando o arquivo `rockyou.txt`, senha por senha, criptografando-as para esse padrão e testando sua correspondência até descobrir todas as senhas criptografadas.

Após a criação das *threads* consumidoras (Código 3.1), e das variáveis globais, tais como número de *hashes*, número de senhas e contador de *hash* para as *threads*, e locais, tal como uma variável que identifica as *threads* em um vetor, devem ser obtidos os parâmetros de entrada do usuário, que são respectivamente o número de *threads* a serem criadas e os arquivos `rockyou.txt` e `hashes.txt` (Código 3.2). Por conseguinte, durante a execução do algoritmo a *thread* produtora tem como *buffer* o próprio arquivo de *hashes* e a mesma é responsável também por obter o número de linhas dos dois arquivos através das funções `loadpasswd()` e `loadhash()`, como visto no Código 3.2. Já em relação às *threads* consumidoras, as mesmas possuem número de identificação, tanto para criação das mesmas, como também, para que a produtora espere as *threads* consumidoras em questão finalizarem suas tarefas através da função `pthread_join(cons[m], NULL)` dentro de um laço de repetição que percorre as 'm' *threads*, finalizando-as.

Listing 3.1 – Criação de  $N$  *threads* consumidoras.

```

1  // Creating threads
2  pthread_t *cons;
3  int *ids;
4
5  /*Cria array com os numeros de identificacao das
   threads. */
6  nc = atoi(argv[1]);
7  ids = (int *) malloc(nc * sizeof(int));
8  for(i=0; i<nc; i++){
9      ids[i] = i;
```

```
10     }
11
12     /* Cria diversas threads consumidoras */
13     cons = (pthread_t *) malloc(nc * sizeof(pthread_t));
14     for(k=0; k<nc; k++){
15         if(pthread_create(&cons[k], NULL, consumidor, (void
16             *)&ids[k])) {
17             fprintf(stderr, "Error creating thread\n");
18             return 2;
19         }
20     }
```

Fonte: Desenvolvido pelos Autores.

Listing 3.2 – Aquisição de parâmetros.

```
1     npasswd = loadpasswd(argv[2]);
2     nhash = loadhash(argv[3]);
3     nc = atoi(argv[1]);
```

Fonte: Desenvolvido pelos Autores.

Por conseguinte para que as *threads* consumidoras sejam capazes de comparar as *hashes* e descobrir as senhas, o algoritmo foi implementado de modo com que cada *thread* criada pudesse adquirir uma palavra *hash*, extrair o *salt* e percorrer todo o dicionário, criptografando cada senha e efetuando a comparação. Dessa forma, é notável que cada *hash* a ser descoberta foi associada ao valor de sua linha, ou seja, cada *thread* consumidora pegaria uma *hash* de acordo com esse valor, operando o laço de repetição no dicionário e após finalizado, adquiriria a próxima *hash* ainda não analisada.

Contudo, foi identificado uma região crítica justamente no momento de adquirir uma *hash* e alterar o valor do contador de linhas, indicando que aquela linha de *hash* já teria sido utilizada por outra *thread* ou estar em execução. Então, como é possível visualizar no Código 3.3, a região crítica foi isolada por um *Mutex*, fazendo com que a *thread* que atingir primeiro essa região, possa fechar o *Mutex*, adquirir sua palavra *hash*, somar no contador - indicando que aquela linha já está sendo executada para não haver sobreposição - e abrir o *Mutex*, possibilitando que outra *thread* faça o mesmo processo sem causar condição de corrida ou fazer com que duas ou mais *threads* adquiram a mesma *hash* e façam trabalho dobrado.

Listing 3.3 – Funções para contagem de número de linhas de arquivos.

```
1  int compara() {
2
3      // The password hash from the shadow file (user-
4      // provided example)
5      char *shadow_hash;
6      char salt[12];
7
8      struct crypt_data crypt_data;
9
10     pthread_mutex_lock(&espera_thread);
11
12     shadow_hash = hash_list[j];
13     // Extracting the salt from the shadow_hash, it
14     // includes "$1$" and ends before the second "$"
15     strncpy(salt, shadow_hash, 11);
16     salt[11] = '\0'; // Ensure null termination
17     j++;
18
19     pthread_mutex_unlock(&espera_thread);
20
21     for (int i=0; i<npasswd; i++) {
22         // em multithread use crypt_r(), pois crypt() nao e
23         // threadsafe.
24         char *new_hash = crypt_r(password_list[i], salt, &
25         crypt_data);
26         if (strcmp(shadow_hash, new_hash) == 0) {
27             printf("Password_found: %s\n", password_list[i]);
28             i = npasswd;
29             flag = 1;
30         }
31     }
32     if(flag == 0){printf("Password_not_found!\n");}
```

Fonte: Desenvolvido pelos Autores.

Ademais, ainda no Código 3.3, é possível inferir que a função `crypt()` por não ser "*thread safe*", foi alterada para a função `crypt_r()`, a qual exige um parâmetro extra para garantir a "*thread safety*", no caso uma estrutura de dados, "`struct crypt_data`". Ao passar essa estrutura como um argumento para `crypt_r()`, é garantido que cada *thread* tenha sua própria área de armazenamento para esses dados temporários. Isso impede que threads concorrentes se sobreponham ou alterem inadvertidamente o estado interno da função, tornando-a segura para uso em ambientes *multithread* e dispensando a necessidade do uso variáveis globais ou estáticas para armazenar dados temporários.

E por fim, vale ressaltar o uso de uma *flag* que tem valor global zero, em que toda vez que uma *thread* descobre a senha, esse valor é alterado para 1. Isso possibilita que, caso permaneça em zero esse valor, o programa entenda que a senha não foi descoberta, imprimindo isso na tela ("Password not found!").

## 4 RESULTADOS

Diante do trabalho previamente apresentado, é imprescindível destacar os resultados obtidos. Para isso, comparam-se os tempos de execução do programa para o sistema *multithreading*, validando, dessa forma, o comportamento esperado de otimização do processamento. Para fins de comparação, realizou-se a simulação em três ambientes diferentes, sendo eles, um computador pessoal, uma máquina virtual e o servidor na nuvem da UFSC. Para apresentar os resultados de maneira condizente, é importante detalhar as especificações de cada ambiente utilizado, assim:

### Máquina Virtual:

- Processador: I7 de 11<sup>a</sup> geração;
- 4 Núcleos ;
- 8 *Threads* para cada núcleos.

### Máquina com Dual-Boot:

- Processador: I5 de 10<sup>a</sup> geração;
- 4 Núcleos;
- 8 *Threads* para cada núcleos.

### Servidor

- 8 Núcleos;
- 16 *Threads* para cada núcleos.

Em vista das especificações anteriores, e após executar o algoritmo para cada ambiente, é possível obter diferentes resultados. Entretanto, percebe-se que ao aumentar a quantidade de *threads*, ocorre uma saturação em relação ao tempo de execução, ou seja não há uma melhora no desempenho, conforme apresentado na Figura 1. E com essas informações é possível inferir que o número de núcleos possui relação com a quantidade exata de *threads* para máximo proveito do processador. No caso do Dual-boot (4 núcleos) e da Máquina Virtual (3 núcleos), a partir de 8 *threads* não há melhora de desempenho. Já para o servidor, com 8 núcleos, a partir de 16 *threads* não há melhora de desempenho.

Abaixo na Tabela 1 é possível visualizar os valores de tempo obtidos para a variação de *threads* para as execuções feitas nos três computadores, assim como, na Figura 3 é possível visualizar graficamente o decaimento do tempo em relação a *threads*.

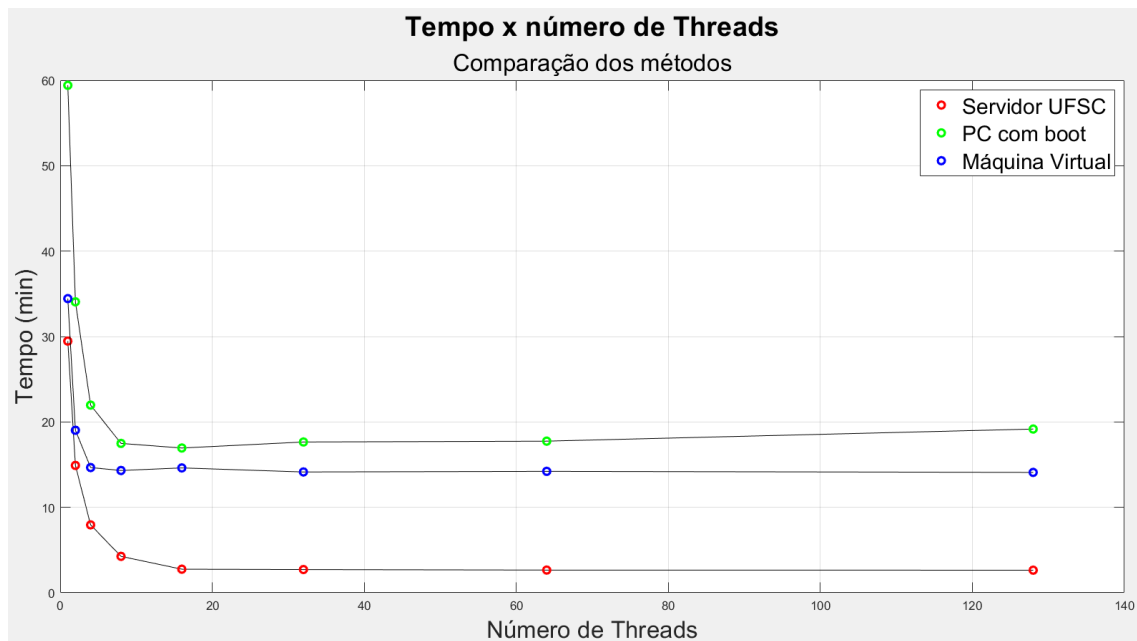
Em primeiro instante, analisando Figura 2 é possível visualizar que quando executado em uma máquina virtual, como mencionado anteriormente, 8 *threads*

Tabela 1 – Apresentação de parâmetros das funções de transferência para sistemas teóricos.

Relação computador e tempo [min] de execução por 'n' threads			
Máquina / nº threads	Dual-boot	Máquina Virtual	Servidor da UFSC
1 thread	59.414	34.4404	29.4631
2 threads	34.0618	19.0267	14.9092
4 threads	21.9708	14.6597	7.9469
8 threads	17.4858	14.3137	4.2600
16 threads	16.9472	14.6166	2.7581
32 threads	17.6500	14.1409	2.7178
64 threads	17.7500	14.2153	2.6548
128 threads	19.1667	14.0911	2.6420

Fonte: Elaborada pelos autores.

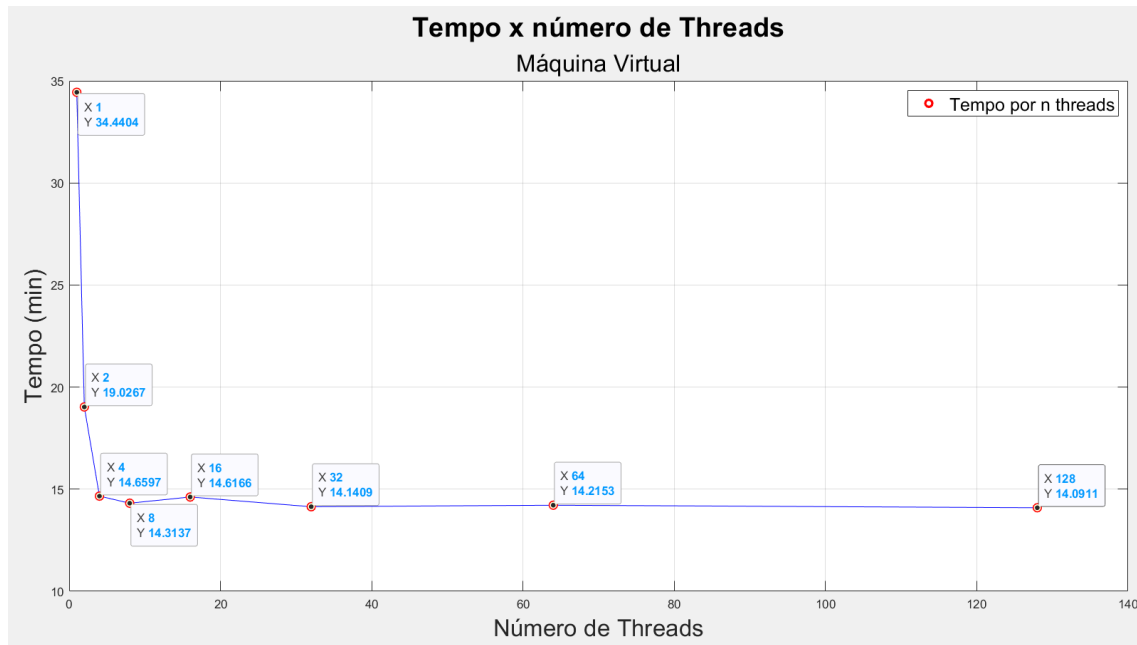
Figura 1 – Gráfico de tempo por número de threads comparando desempenho.



Fonte: Desenvolvido pelo Autor.

obtem a melhor otimização, já que mais que isso não apresenta melhora de tempo. Além disso vale inferir que de 1 para 8 threads, o ganho do tempo é exponencial.

Já quando executado em ambiente com *Dual Boot* o desempenho se torna inferior quando comparado com a máquina virtual, haja vista que o processador é inferior, o que pode gerar um atraso na simulação. No entanto, assim como na

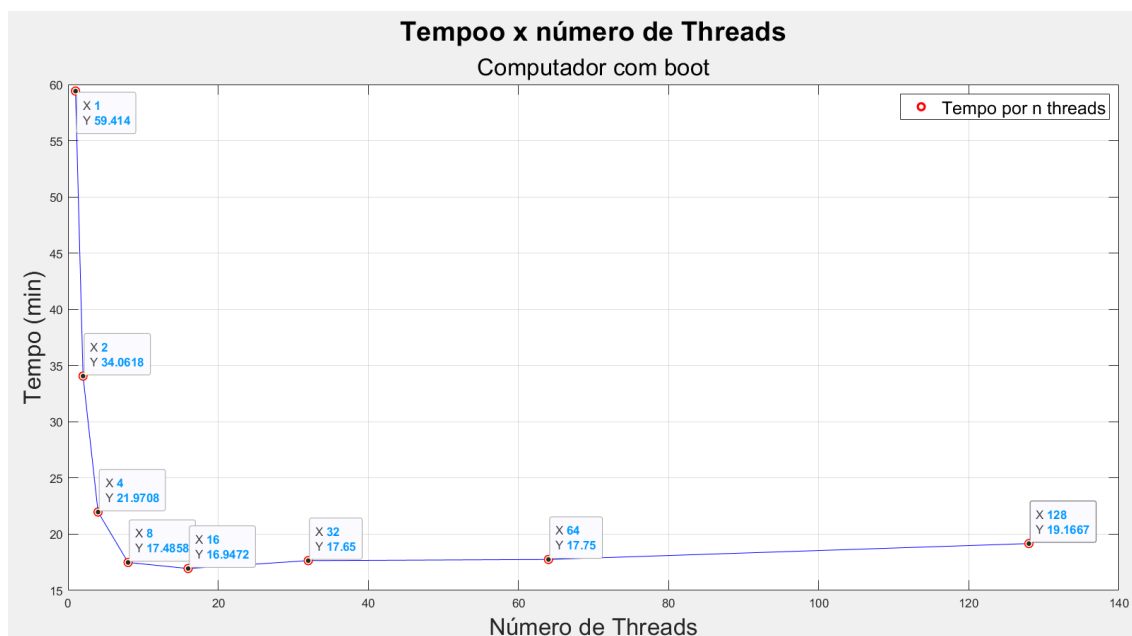
Figura 2 – Gráfico de tempo por número de *threads* para Máquina Virtual.

Fonte: Desenvolvido pelo Autor.

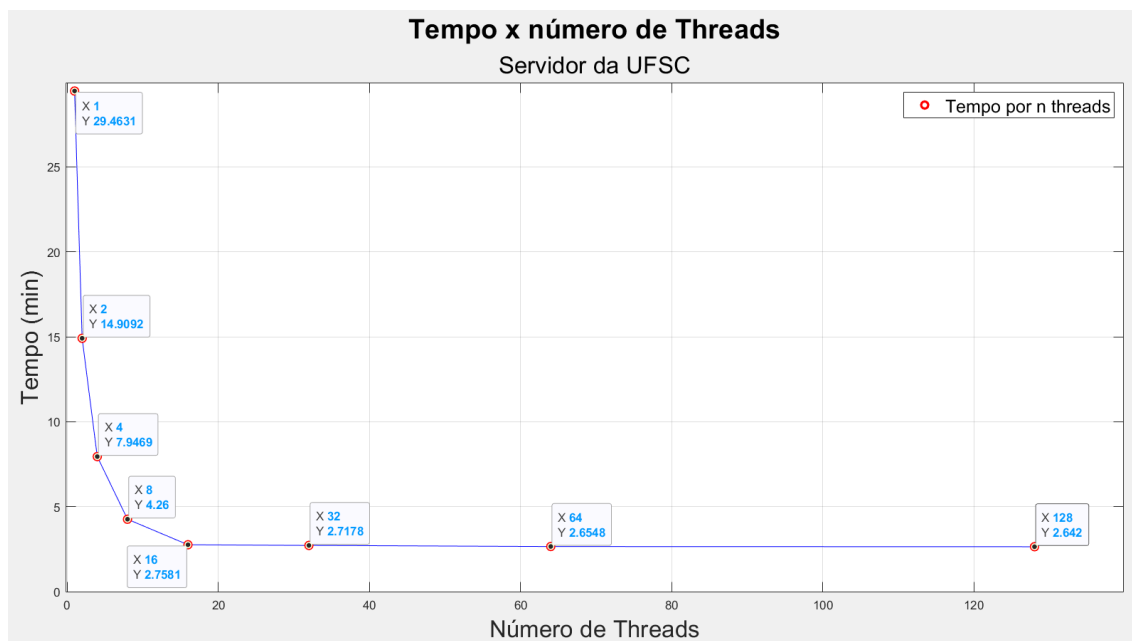
Máquina Virtual, de 1 para 8 *threads* o ganho de tempo é exponencial.

Por fim, quando analisados os resultados obtidos quando realizada a execução no servidor, percebe-se que o tempo de simulação tende a ser inferior comparadas com os ambientes anteriores, isso se dá pelo fato das especificações de *hardware* comentados anteriormente. Como visto na Tabela 1 os valores de tempo são consideravelmente menores para o servidor. Já na Figura 4 é possível analisar graficamente o comportamento do tempo de execução no servidor ao passo que o número de *threads* aumenta.



Figura 3 – Gráfico de tempo por número de *threads* para Dual-Boot.

Fonte: Desenvolvido pelo Autor.

Figura 4 – Gráfico de tempo por número de *threads* para Servidor da UFSC.

Fonte: Desenvolvido pelo Autor.

## 5 CONCLUSÃO

Destarte esse trabalho teve como objetivo demonstrar na prática a teoria de *multithreading* lecionada em sala de aula. Com os testes em diferentes *hardwares* e diferentes quantidades de *threads*, foi possível analisar a relação de núcleos do processador com o número ideal de *threads* que extrai o melhor desempenho possível. Além disso, foi possível compreender solidamente o funcionamento das *threads*, suas regiões críticas e seu modo de otimizar o funcionamento de processos, já que paralelizando a execução, obtém-se um ganho exponencial de tempo, ainda tendo em vista o baixo custo que *threads* implicam no sistema operacional.

## REFERÊNCIAS

RÔMULO SILVA DE OLIVEIRA, Et. al. **Sistemas Operacionais**. [S.l.]: Bookman, 2010.